

implication for cod and sprat early life stage survival // Journal of Marine Systems. 2012. N 100—101. P. 1—8.

Калининград  
navsvet@gmail.com  
ocean\_stont@mail.ru

Институт океанологии им. П. П. Ширшова РАН, Атлантическое отделение

Поступило в редакцию  
15 декабря 2013 г.

*Изв. РГО. 2014. Т. 146, вып. 3*

© Н. Г. МОСКАЛЕНКО, Т. ДЖОЕРГЕНСОН, М. З. КАНЕВСКИЙ,  
Д. НОССОВ, Ю. Л. ШУР

## ВЗАИМОСВЯЗИ РАСТИТЕЛЬНОСТИ И СЕЗОННОГО ПРОТАИВАНИЯ МНОГОЛЕТНЕМЕРЗЛЫХ ПОРОД В АРКТИЧЕСКИХ ТУНДРАХ ЯМАЛА И АЛЯСКИ

Изменения арктических ландшафтов в условиях изменяющегося климата в последние десятилетия изучаются многими исследователями [5, 6, 12, 13, 15—19, 27, 30—32]. Однако взаимосвязи критических компонентов ландшафтов — растительности и многолетнемерзлых пород Арктики — исследованы пока недостаточно. Настоящее сообщение, посвященное анализу растительного покрова и многолетнемерзлых пород контрастных регионов Арктики, представляет интерес для исследователей Севера.

Изучение растительного покрова и многолетнемерзлых пород выполнялось автором в южных арктических тундрах Ямала и Аляски. Места расположения участков исследований даны на рис. 1, 2. Исследования ландшафтов на Ямале (Харасавей) проводились в августе 1978 г. и повторно в 2008 г. на 10 площадках, а на Аляске (Прудо-Бэй — 15 площадок и Барроу — 20 площадок) — в 1993 и 2012 гг. На площадках размером 100 м<sup>2</sup> регистрировали видовой состав фитоценоза, описывали его вертикальную и горизонтальную структуру, определяли обилие растений [11], их жизненное состояние [10], среднюю высоту, а также проективное покрытие [7]. Рядом с площадками бурили скважины и измеряли глубину сезонного протаивания у площадок в 100 точках. Для выявления индикаторов глубин протаивания определяли коэффициенты корреляции между встречаемостью видов растений и глубиной протаивания. При анализе видового состава разных фитоценозов использовали коэффициент флористической общности Жаккара.

В районе Харасавея, расположенном в подзоне южных арктических тундр или арктических тундр, по О. Е. Ребристой [8], рельеф представлен ступенчатой равниной. Равнина имеет абсолютную высоту от 0 до 26 м и расчленена оврагами, озерами и мелкими реками. Более высокая третья морская терраса с абсолютными отметками 25—35 м расположена в северной и восточной частях территории [3]. Средняя многолетняя температура воздуха составляет −9.8 °C.

В геологическом строении территории принимают участие средне- и верхнечетвертичные морские, аллювиально-морские, озерные, озерно-аллювиальные

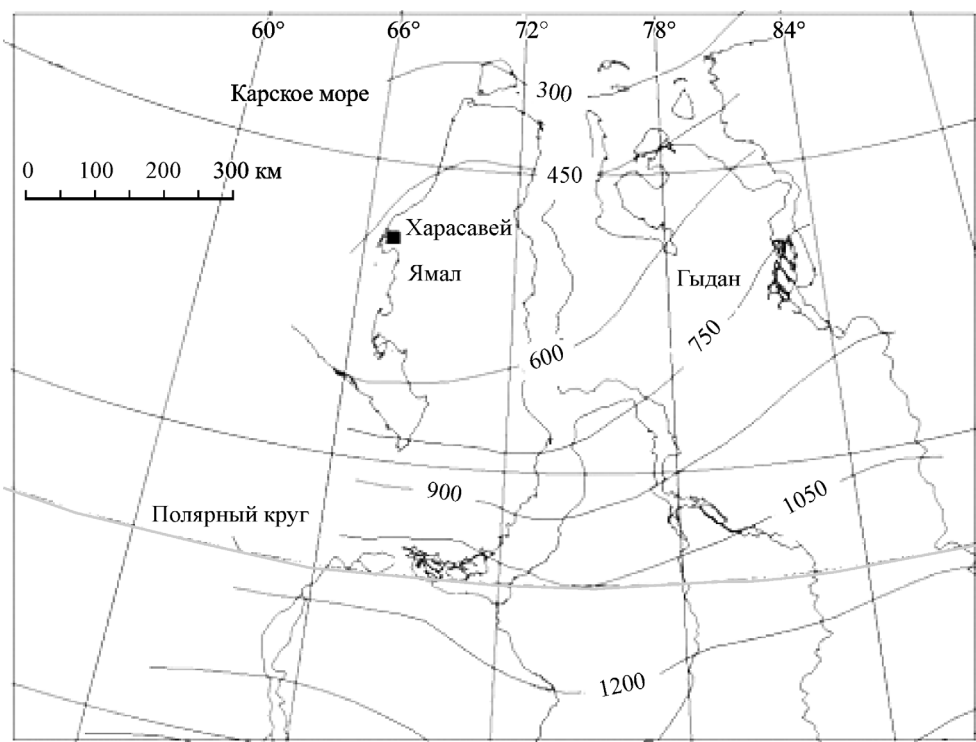


Рис. 1. Место расположения Харасавейского участка и суммы положительных температур воздуха ( $^{\circ}\text{C}$ ) на севере Западной Сибири.

льные и озерно-болотные, делювиальные и оползневые отложения песчано-глинистого состава, редко с включениями обломочного материала, а также торфа и оторфованных пород.

Многолетнемерзлые породы (ММП) имеют сплошное распространение, несквозные талики развиты только под руслами рек и озерами, где кровля многолетнемерзлых пород понижена на несколько метров или на первые десятки метров в зависимости от глубины воды, размера водоемов и длительности их существования. Сквозные талики возможны в низовьях рек под руслом и под крупными глубокими озерами [1].

Температура многолетнемерзлых пород на глубине нулевых годовых амплитуд в зависимости от ландшафтных условий изменяется от  $-2.0$  до  $-8.0\text{ }^{\circ}\text{C}$ . На открытых приподнятых участках морских террас с бугорковыми кустарничково-осоково-мохово-лишайниковыми тундрами, где снежный покров имеет минимальную мощность, отмечается самая низкая (от  $-6.0$  до  $-8.0\text{ }^{\circ}\text{C}$ ) средняя годовая температура многолетнемерзлых пород. Наиболее высокая температура пород (от  $-2.5$  до  $-4.0\text{ }^{\circ}\text{C}$ ) наблюдается в заболоченных ивняках и кустарниково-моховых тундрах у подножия склонов, в днищах малых водотоков, на участках густых и высоких кустарников. Это обусловлено накоплением снежного покрова мощностью до  $0.7$ — $1.0$  м. Мощность ММП вблизи берега меньше, чем в глубине суши, и не превышает 180 м.

Глубина сезонного протаивания меняется в широких пределах от 30 см при мощности мохового покрова более 10 см до 1.4 м на песчаных раздувах.

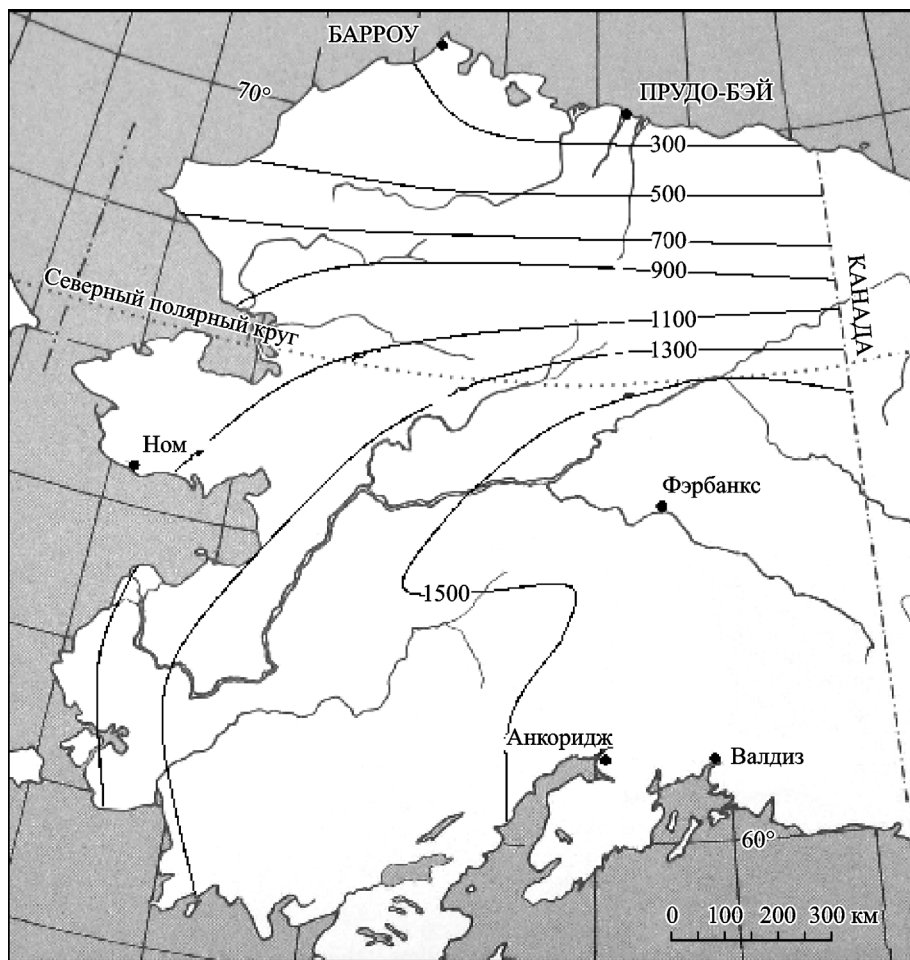


Рис. 2. Место расположения участков Прудо-Бэй и Барроу и суммы положительных температур воздуха ( $^{\circ}\text{C}$ ) на Аляске.

Наиболее характерные значения составляют 40—80 см на суглинистых задернованных плоских поверхностях с мелкобугорковатым микрорельефом с кустарничково-осоково-лишайниково-моховыми тундрами и 0.9—1.4 м на песчаных незадернованных поверхностях лайды и пляжей.

Из криогенных процессов наиболее развиты термокарст и термоэррозия, связанные с полигональным рельефом и наличием в разрезе полигонально-жильных льдов, а также пучение. На склонах наблюдаются солифлюкция и криогенное оползание.

Зональными растительными сообществами являются бугорковые кустарничково-осоково-лишайниково-моховые тундры [4], характерные для суглинистых отложений морских террас.

В напочвенном покрове этих тундр преобладают зеленые мхи (*Aulacomnium turgidum*, *Dicranum elongatum*, *Rhacomitrium lanuginosum*), меньшее участие принимают лишайники (*Cetraria islandica*, *C. cucullata*, *Cladonia arbuscula*, *Sphaerophorus globosus*, *Thamnolia vermicularis*) (табл. 1). В травяно-кус-

Таблица 1

**Видовой состав кустарничково-осоково-лишайниково-моховой тундры Харасавея  
(п-ов Ямал)**

| №                          | Виды   | Обилие  |         | Высота, см |         | Покрытие, % |         |
|----------------------------|--|---------|---------|------------|---------|-------------|---------|
|                            |  | 1978 г. | 2008 г. | 1978 г.    | 2008 г. | 1978 г.     | 2008 г. |
| <b>Сосудистые растения</b> |  |         |         |            |         |             |         |
| 1                          | <i>Alopecurus alpinus</i>                        | sp      | sol     | 15         | 20      | 5           | 0.1     |
| 2                          | <i>Arctagrostis latifolia</i>                    | sol     | sp      | 20         | 35      | 0.1         | 1       |
| 3                          | <i>Calamagrostis holmii</i>                      | sp      | sp      | 15         | 16      | 5           | 1       |
| 4                          | <i>Carex bigelowii</i> ssp. <i>arctisibirica</i> | cop2    | cop1    | 12         | 15      | 30          | 20      |
| 5                          | <i>Dryas punctata</i>                            | sol     | cop1    | 8          | 10      | 0.1         | 20      |
| 6                          | <i>Eriophorum scheuchzeri</i>                    | sp      | sol     | 10         | 12      | 1           | 0.1     |
| 7                          | <i>E. angustifolium</i>                          | sp      | —       | 10         | —       | 1           | —       |
| 8                          | <i>Luzula multiflora</i> ssp. <i>frigida</i>     | sol     | sol     | 12         | 18      | 0.1         | 0.1     |
| 9                          | <i>Parrya nudicaulis</i>                         | sol     | sol     | 15         | 20      | 0.1         | 0.1     |
| 10                         | <i>Poa alpigena</i>                              | sol     | sol     | 10         | 10      | 0.1         | 0.1     |
| 11                         | <i>Polygonum viviparum</i>                       | sol     | sol     | 2          | 7       | 0.1         | 0.1     |
| 12                         | <i>Rumex arcticus</i>                            | sol     | sol     | 2          | 2       | 0.1         | 0.1     |
| 13                         | <i>Salix nummularia</i>                          | —       | sol     | —          | 1       | —           | 0.1     |
| 14                         | <i>S. polaris</i>                                | cop1    | cop1    | 2          | 2       | 30          | 30      |
| 15                         | <i>Saxifraga cernua</i>                          | sp      | sp      | 2          | 2       | 1           | 1       |
| 16                         | <i>S. spinulosa</i>                              | sol     | sp      | 2          | 2       | 0.1         | 1       |
| 17                         | <i>Senecio atropurpureus</i>                     | sol     | sol     | 2          | 15      | 0.1         | 0.1     |
| 18                         | <i>Stellaria peduncularis</i>                    | sp      | sol     | 1          | 10      | 1           | 0.1     |
| <b>Лишайники</b>           |  |         |         |            |         |             |         |
| 19                         | <i>Cetraria cucullata</i>                        | —       | sp      | —          | 1       | —           | 1       |
| 20                         | <i>C. islandica</i>                              | sp      | cop1    | 2          | 2       | 10          | 10      |
| 21                         | <i>Cladonia rangiferina</i>                      | —       | sol     | —          | 2       | —           | 0.1     |
| 22                         | <i>C. stellaris</i>                              | sol     | sol     | 2          | 2       | 0.1         | 0.1     |
| 23                         | <i>C. amaurocraea</i>                            | sol     | sol     | 1          | 1       | 0.1         | 0.1     |
| 24                         | <i>C. arbuscula</i>                              | sol     | sp      | 1          | 2       | 0.1         | 0.5     |
| 25                         | <i>C. bellidiflora</i>                           | —       | sp      | —          | 1       | —           | 5       |
| 26                         | <i>C. coccifera</i>                              | —       | sp      | —          | 2       | —           | 3       |
| 27                         | <i>C. gracilis</i>                               | sol     | sol     | 1          | 1       | 0.1         | 0.1     |
| 28                         | <i>C. uncialis</i>                               | sp      | sp      | 2          | 2       | 5           | 5       |
| 29                         | <i>Dactylina arctica</i>                         | sp      | sol     | 1          | 1       | 1           | 0.1     |
| 30                         | <i>Ochrolechia frigida</i>                       | sol     | sp      | 0.5        | 0.5     | 0.1         | 2       |
| 31                         | <i>Peltigera aphthosa</i>                        | sp      | sp      | 1          | 1       | 5           | 2       |
| 32                         | <i>P. canina</i>                                 | —       | sol     | —          | 1       | —           | 0.1     |
| 33                         | <i>Sphaerophorus globosus</i>                    | sp      | sp      | 1          | 1       | 1           | 1       |
| 34                         | <i>Thamnolia vermicularis</i>                    | sol     | sp      | 1          | 1       | 0.1         | 5       |

Таблица 1 (продолжение)

| №   | Виды                            | Обилие  |         | Высота, см |         | Покрытие, % |         |
|-----|---------------------------------|---------|---------|------------|---------|-------------|---------|
|     |                                 | 1978 г. | 2008 г. | 1978 г.    | 2008 г. | 1978 г.     | 2008 г. |
| Мхи |                                 |         |         |            |         |             |         |
| 35  | <i>Aulacomnium turgidum</i>     | cop1    | cop1    | 1          | 1       | 30          | 30      |
| 36  | <i>Dicranum elongatum</i>       | cop1    | sp      | 1          | 1       | 20          | 5       |
| 37  | <i>Hylocomium splendens</i>     | cop1    | cop1    | 1          | 1       | 20          | 20      |
| 38  | <i>Polytrichum juniperinum</i>  | sp      | sp      | 1          | 1       | 1           | 10      |
| 39  | <i>P. strictum</i>              | sol     | sol     | 1          | 1       | 0.1         | 0.1     |
| 40  | <i>Rhacomitrium lanuginosum</i> | sol     | sp      | 1          | 1       | 0.1         | 5       |
| 41  | <i>Tomentypnum nitens</i>       | sp      | sp      | 1          | 1       | 1           | 1       |

тарничковом ярусе доминирует осока (*Carex bigelowii* ssp. *arctisibirica*) с участием кустарничков (*Salix nummularia*, *S. polaris*). Кроме осоки, участие травянистых растений в этих растительных сообществах незначительно. Помимо пушицы (*Eriophorum angustifolium*) и некоторых злаков (*Arctagrostis latifolia*, *Calamagrostis holmii*, *Hierichloe alpina*) отмечены *Luzula nivalis*, *Senecio atropurpureus*, *Saxifraga cernua*.

На морских террасах с песчаными почвами развиты мохово-лишайниковые полигональные и пятнисто-полигональные тундры. На полигонах кустарнички (*Dryas punctata*, *Salix nummularia*) значительно преобладают над травянистыми растениями (*Arctagrostis latifolia*, *Carex bigelowii* ssp. *arctisibirica*). Для центральных частей полигонов характерен плотный мохово-лишайниковый покров из *Cladonia rangiferina*, *C. mitis*, *Cetraria islandica*, *Sphaerophorus globosus*, *Rhacomitrium lanuginosum*. К канавкам между полигонами приурочены мхи (*Dicranum elongatum*, *Polytrichum juniperinum*) и травянистые растения (*Arctagrostis latifolia*, *Carex bigelowii* ssp. *arctisibirica*, *Luzula confusa*). Коэффициент корреляции между встречаемостью микрофитоценозов *Salix nummularia*—*Sphaerophorus globosus*, характерных для заросших пятен, и глубиной протаивания ( $107.8 \pm 19.9$  см) равен 0.48.

По днищам логов на второй морской террасе развиты осоково-пушицево-моховые болота. Видовой состав такого болота дан в табл. 2. Коэффициент корреляции между встречаемостью микрофитоценозов *Eriophorum angustifolium*—*Sphagnum balticum*, приуроченных к межкочечным участкам этих болот, и глубиной протаивания ( $58.4 \pm 11.5$  см) составляет 0.49. Коэффициент флористической общности Жаккара между кустарничково-осоково-лишайниково-моховой тундрой и осоково-пушицево-моховым болотом низкий (26 %).

Среднегодовая температура воздуха в Харасавее по данным метеостанции Моржовой составила в 1978 г.  $-11.4^{\circ}\text{C}$ . В последующие годы отмечалось повышение температуры воздуха. В 2000 г. среднегодовая температура воздуха составила  $-5^{\circ}\text{C}$ . Такое повышение температуры воздуха привело к появлению новых видов разнотравья и лишайников и за счет этого к увеличению биоразнообразия, а также к увеличению высоты и покрытия кустарничков и мощности сезонно-талого слоя. Например, на площадке в полигональной кустарничково-осоково-мохово-лишайниковой тундре, развитой в речной долине

Таблица 2  
Видовой состав осоково-пушицево-мохового болота Харасавея (п-ов Ямал)

| №                   | Виды   | Обилие  |         | Высота, см |         | Покрытие, % |         |
|---------------------|--|---------|---------|------------|---------|-------------|---------|
|                     |  | 1978 г. | 2008 г. | 1978 г.    | 2008 г. | 1978 г.     | 2008 г. |
| Сосудистые растения |  |         |         |            |         |             |         |
| 1                   | <i>Arctophila fulva</i>                      | sol     | sol     | 10         | 15      | 0.1         | 0.1     |
| 2                   | <i>Artemisia tilesii</i>                     | —       | rr      | —          | 3       | —           | 0.1     |
| 3                   | <i>Caltha arctica</i>                        | sp      | sol     | 10         | 6       | 5           | 0.1     |
| 4                   | <i>Cardamine bellidifolia</i>                | sol     | sol     | 3          | 5       | 0.1         | 0.1     |
| 5                   | <i>Carex aquatilis</i> ssp. <i>stans</i>     | sp      | cop1    | 10         | 15      | 5           | 0.1     |
| 6                   | <i>Cerastium jenisejense</i>                 | —       | sol     | —          | 3       | —           | 0.1     |
| 7                   | <i>Equisetum arvense</i> ssp. <i>boreale</i> | —       | sol     | —          | 10      | —           | 0.1     |
| 8                   | <i>Eriophorum angustifolium</i>              | sp      | cop1    | 10         | 20      | 0           | 20      |
| 9                   | <i>Eriophorum scheuchzeri</i>                | sp      | sp      | 8          | 10      | 5           | 10      |
| 10                  | <i>Oxyria digyna</i>                         | sp      | sol     | 3          | 1       | 5           | 0.1     |
| 11                  | <i>Pedicularis sudetica</i>                  | —       | sol     | —          | 5       | —           | 0.1     |
| 12                  | <i>Phipsia concinna</i>                      | —       | sol     | —          | 6       | —           | 0.1     |
| 13                  | <i>Poa alpigena</i>                          | sp      | sol     | 10         | 15      | 5           | 0.1     |
| 14                  | <i>Polemonium acutiflorum</i>                | sp      | sol     | 5          | 10      | 5           | 0.1     |
| 15                  | <i>Polygonum viviparum</i>                   | sp      | sol     | 3          | 3       | 5           | 0.1     |
| 16                  | <i>Ranunculus borealis</i>                   | sol     | sol     | 5          | 5       | 0.1         | 0.1     |
| 17                  | <i>R. nivalis</i>                            | —       | sol     | —          | 10      | —           | 0.1     |
| 18                  | <i>Saxifraga bronchialis</i>                 | —       | sol     | —          | 2       | —           | 0.5     |
| 19                  | <i>S. cernua</i>                             | sol     | sol     | 2          | 2       | 0.1         | 0.1     |
| 20                  | <i>S. hieracifolia</i>                       | sol     | sol     | 5          | 10      | 0.1         | 0.1     |
| 21                  | <i>Senecio atropurpureus</i>                 | sp      | sol     | 1          | 1       | 5           | 0.1     |
| Лишайники           |  |         |         |            |         |             |         |
| 22                  | <i>Cetraria cucullata</i>                    | sp      | sol     | 1          | 1       | 1           | 0.1     |
| 23                  | <i>C. islandica</i>                          | sp      | sol     | 1          | 1       | 1           | 0.1     |
| 24                  | <i>C. nivalis</i>                            | sol     | sol     | 1          | 1       | 0.1         | 0.1     |
| 25                  | <i>Cladonia stellaris</i>                    | sp      | sol     | 1          | 1       | 1           | 0.1     |
| 26                  | <i>C. bellidiflora</i>                       | sp      | sol     | 1          | 1       | 1           | 0.1     |
| 27                  | <i>C. coccifera</i>                          | sp      | sol     | 1          | 1       | 1           | 0.1     |
| 28                  | <i>C. gracilis</i>                           | sol     | sol     | 1          | 1       | 0.1         | 0.1     |
| 29                  | <i>C. uncialis</i>                           | sp      | sol     | 1          | 1       | 1           | 0.1     |
| 30                  | <i>Sphaerophorus globosus</i>                | sp      | sol     | 1          | 1       | 1           | 0.1     |
| Мхи                 |  |         |         |            |         |             |         |
| 31                  | <i>Calliergon stramineum</i>                 | sp      | cop1    | 2          | 2       | 5           | 10      |
| 32                  | <i>Dicranum elongatum</i>                    | cop1    | sp      | 1          | 1       | 30          | 5       |
| 33                  | <i>Polytrichum commune</i>                   | cop1    | sp      | 2          | 2       | 30          | 5       |
| 34                  | <i>Sanionia uncinata</i>                     | sp      | sp      | 2          | 2       | 5           | 5       |
| 35                  | <i>Sphagnum balticum</i>                     | sp      | sp      | 2          | 2       | 10          | 5       |
| 36                  | <i>Tomentypnum nitens</i>                    | sp      | cop1    | 2          | 2       | 10          | 40      |

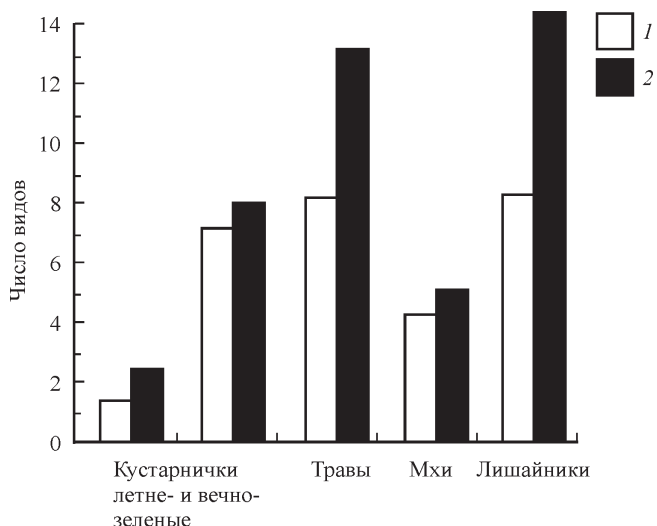


Рис. 3. Число видов в полигональной кустарничково-осоково-мохово-лишайниковой тундре Харасавея.

1 — 1978 г., 2 — 2008 г.

не р. Сармикэя-Тарка, в 2008 г. число видов по сравнению с 1978 г. увеличилось с 36 до 49 (рис. 3). Это произошло за счет появления новых видов разнотравья (*Artemisia tilesii*, *Polygonum ellipticum*, *Valeriana capitata*, *Cerastium jenisejense*, *Chrysosplenium alternifolium*), хвоща (*Equisetum arvense*), ивы (*Salix glauca*) и лишайников (*Cladonia amaurocraea*, *C. arbuscula*, *C. bellidiflora*, *Dactylina arctica*, *Peltigera canina*, *Sphaerophorus globosus*). Средняя высота большинства видов кустарничков стала больше. Мощность сезонно-талого слоя увеличилась с 70 до 90 см.

На осоково-пушицево-моховом болоте в 2008 г. число видов увеличилось с 29 до 36 в результате появления новых видов разнотравья. Глубина сезонного протаивания увеличилась с 30 до 59 см. В зональной осоково-лишайниково-моховой тундре число видов тоже увеличилось (с 35 до 41), но меньше, чем в полигональной кустарничково-осоково-мохово-лишайниковой тундре, расположенной в интразональных условиях речной долины. Глубина сезонного протаивания в зональных тундровых сообществах увеличилась с 50 до 62 см.

Только в пятнистых дренированных тундрах, нарушенных выпасом оленей, увеличения числа видов не наблюдалось. Здесь отмечалось уменьшение числа видов лишайников и покрытия ими поверхности почвы. Число видов в пятнистой тундре уменьшилось с 39 до 38 за счет исчезновения 3 видов лишайников при появлении одного нового вида мха и одного вида разнотравья, как это можно видеть на диаграмме (рис. 4). Мощность сезонно-талого слоя увеличилась с 65 до 84 см.

Приморская низменность северной Аляски (рис. 2), расположенная в подзоне южных арктических тундр, представляет собой плоскую равнину, полого наклонную в сторону моря Бофорта. Поверхность равнины осложнена многочисленными озерами и неглубокими озерными котловинами с остаточными водоемами. Высота приморской равнины над уровнем моря в районе обоих обследованных участков понижается от 15—20 м в нескольких кило-

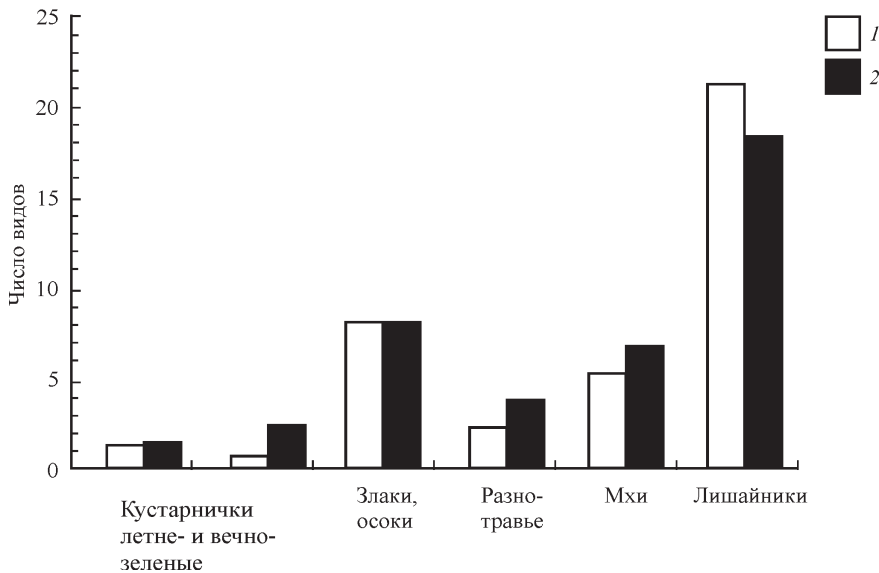


Рис. 4. Число видов в пятнистых дренированных тундрах Харасавея.

1 — 1978 г., 2 — 2008 г.

метрах от берега до 3—6 м на побережье. С поверхности здесь залегают голоценовые отложения преимущественно озерно-болотного генезиса, представленные высокольдистыми оторфованными пылеватыми суглинками мощностью до 2—3 м, подстилаемыми песками и галечниками. Мощность поверхностного торфяного горизонта обычно не превышает 10—20 см.

Среднегодовая температура воздуха  $-11.3^{\circ}\text{C}$  в районе Прудо-Бэя и  $-12.3^{\circ}\text{C}$  в районе Барроу, а количество осадков не превышает 200 мм [21]. Район относится к зоне сплошного развития многолетнемерзлых пород, мощность которых достигает 500—650 м в районе Прудо-Бэя и 200—400 м в районе Барроу [24, 25]; несквозные талики отмечаются исключительно под водными объектами. Температура ММП в зависимости от местных условий колеблется от  $-6.0$  до  $-9.0^{\circ}\text{C}$  в районе Прудо-Бэя и до  $-11.0^{\circ}\text{C}$  в районе Барроу [24, 26]. Температура ММП на Арктическом побережье Аляски, измеренная в глубоких скважинах, увеличилась за последние 20 лет на  $2.7^{\circ}\text{C}$  [14, 22]. Мощность сезонно-талого слоя (СТС) зависит от мощности торфа и обычно колеблется от 20 до 80 см. Средние значения мощности СТС в Прудо-Бэе составляют 50—60 см, а в Барроу — 30—40 см. Наибольшие значения мощности СТС были зарегистрированы на площадках CALM в 1998, 2004 и 2006 гг., когда летние температуры были существенно выше среднемноголетних значений. Однако в целом увеличения мощности СТС за последние 20 лет не наблюдалось, так как потепление климата на севере Аляски затронуло прежде всего зимний период [14, 21, 28].

Верхний горизонт ММП в пределах приморской равнины отличается очень высокой льдистостью [23]. Повторно-жильные льды (ПЖЛ) развиты практически повсеместно. Объемная макрольдистость за счет ПЖЛ обычно составляет 10—20 %, но местами превышает 30 %. В пределах обоих обследованных участков ПЖЛ формируют полигоны средним размером около 15 м в поперечнике; ширина жил поверху колеблется от менее 1 до 4—5 м в райо-

не Прудо-Бэя и до 8—9 м в районе Барроу. Вертикальная протяженность жил на этих участках лимитируется небольшой мощностью пылеватых отложений, составляя в среднем 3.5 м. Объемная льдистость пылеватых суглинков с преимущественно атакситовой криотекстурой достигает 80—90 %. Наличие вблизи поверхности высокольдистых отложений предопределяет широкое развитие термокарста, который проявляется преимущественно в образовании заполненных водой канав, глубина и размеры которых увеличиваются в местах пересечения наиболее мощных ледяных жил [23]. Максимальная глубина термокарстовых понижений над жилами не превышает 1 м.

На плоской полигональной поверхности приморской равнины в районе Прудо-Бэя, сложенной суглинистыми отложениями, как и в Харасавее, преобладают бугорковые кустарничково-осоково-лишайниково-моховые тундры. Видовой состав этих тундр представлен в табл. 3. В травяно-кустарничковом ярусе здесь так же, как и в Харасавее, доминируют осоки (*Carex bigelowii*) и ивы (*Salix arctica*). Для кустарничково-осоково-лишайниково-моховых тундр Прудо-Бэя по сравнению с тундрами Харасавея характерно меньшее участие лишайников и большее участие мхов. Коэффициент флористической общности этих тундр низкий (16 %) из-за различий в составе лишайниково-мохового покрова.

В понижениях между полигонами и на месте заросших озер развиты осоково-пушицево-моховые болота. В травяном ярусе преобладают осоки (*Carex aquatilis*) и пушицы (*Eriophorum angustifolium*, *E. scheuchzeri*), которые характерны и для болот Харасавея, но состав видов разнотравья и мхов значительно отличается (табл. 4).

При зарастании озер обычен такой сукцессионный ряд фитоценозов: 1) открытые группировки сосудистых растений (*Hippuris vulgaris*, *Utricularia vulgaris*) и мхов (*Calliergon giganteum*, *Pseudocalliergon turgescens*, *Scorpidium revolvens*); 2) осоково-пушицево-моховые болота (*Carex aquatilis*, *Eriophorum angustifolium*-*Campylium stellatum*, *Pseudocalliergon brevifolium*, *Distichium capillaceum*); 3) кустарничково-осоково-лишайниково-моховые тундры (*Salix arctica*-*Carex bigelowii*-*Dactylina arctica*-*Scorpidium cossonii*). Сходные ряды фитоценозов для севера Западной Сибири были выделены А. П. Тыртиковым [9].

На полигональной поверхности приморской равнины в районе Барроу наибольшие площади занимают ожиково-злаково-лишайниково-моховые тундры. В травяном ярусе этих тундр преобладают ожика (*Luzula arctica*) и злаки (*Arctagrostis latifolia*, *Poa alpigena*, *P. arctica*). Видовой состав ожиково-злаково-лишайниково-моховых тундр приведен в табл. 5. Зональные тундры Барроу отличаются большим видовым богатством и участием лишайников по сравнению с тундрами Прудо-Бэя, на которые оказывают влияние расположенные рядом объекты инфраструктуры нефтедобычи. Коэффициент флористической общности тундр Барроу и Прудо-Бэя низкий (10 %), даже ниже, чем между тундрами Харасавея и Прудо-Бэя.

Болотная растительность Барроу представлена злаково-осоково-пушицево-моховыми сообществами. Травяной ярус на этих болотах составляют *Arcophila fulva*, *Dupontia fisheri*, *Carex aquatilis* и *Eriophorum angustifolium* (табл. 6). Эти болота отличаются от болотных сообществ Прудо-Бэя большим участием злаков и меньшим видовым разнообразием мхов.

Сравнение описаний растительных сообществ Прудо-Бэя и Барроу за разные годы показывает, что отмечается увеличение числа видов растений и их высоты, как это было отмечено для района Харасавея.

Таблица 3  
Видовой состав кустарничково-осоково-лишайниково-моховой тундры Прудо-Бэя  
(Аляска)

| №                   | Виды                                | Обилие  |         | Высота, см |         |
|---------------------|-------------------------------------|---------|---------|------------|---------|
|                     |                                     | 1993 г. | 2012 г. | 1993 г.    | 2012 г. |
| Сосудистые растения |                                     |         |         |            |         |
| 1                   | <i>Carex atrofusca</i>              | sol     | sol     | 15         | 24      |
| 2                   | <i>C. bigelowii</i>                 | cop1    | cop1    | 15         | 22      |
| 3                   | <i>C. misandra</i>                  | sol     | sol     | 15         | 15      |
| 4                   | <i>Chrysanthemum arcticum</i>       | —       | rr      | —          | 20      |
| 5                   | <i>Dryas integrifolia</i>           | sol     | cop1    | 8          | 10      |
| 6                   | <i>Eriophorum angustifolium</i>     | sol     | sol     | 30         | 30      |
| 7                   | <i>Equisetum variegatum</i>         | —       | rr      | —          | 5       |
| 8                   | <i>Luzula arctica</i>               | sp      | 20      | —          | —       |
| 9                   | <i>Melandrium apetalum</i>          | —       | rr      | —          | 15      |
| 10                  | <i>Pedicularis lanata</i>           | —       | rr      | —          | 5       |
| 11                  | <i>P. sudetica</i>                  | —       | sol     | —          | 6       |
| 12                  | <i>Polygonum viviparum</i>          | sol     | sol     | 10         | 10      |
| 13                  | <i>Salix arctica</i>                | sp      | cop1    | 10         | 10      |
| 14                  | <i>S. lanata</i>                    | sol     | sol     | 10         | 15      |
| 15                  | <i>S. reticulata</i>                | —       | sol     | —          | 5       |
| 16                  | <i>Saxifraga hirculus</i>           | —       | rr      | —          | 10      |
| 17                  | <i>S. oppositifolia</i>             | —       | rr      | —          | 5       |
| 18                  | <i>Senecio atropurpureus</i>        | —       | rr      | —          | 15      |
| Лишайники           |                                     |         |         |            |         |
| 19                  | <i>Alectoria nigricans</i>          | sol     | —       | 1          | —       |
| 20                  | <i>Cetraria cucullata</i>           | sol     | —       | 1          | —       |
| 21                  | <i>Dactylina arctica</i>            | sp      | sol     | 1          | 1       |
| 22                  | <i>Ochrolechia frigida</i>          | sol     | sol     | 0.5        | 0.5     |
| 23                  | <i>Thamnolia vermicularis</i>       | sol     | sol     | 0.5        | 0.5     |
| Мхи                 |                                     |         |         |            |         |
| 24                  | <i>Aulacomnium turgidum</i>         | sp      | —       | 2          | —       |
| 25                  | <i>Brachythecium cirrosum</i>       | —       | sol     | —          | 1       |
| 26                  | <i>Bryoerythrophyllum rubrum</i>    | —       | sol     | —          | 1       |
| 27                  | <i>Bryum pseudotriquetrum</i>       | sol     | 1       | sp         | 1       |
| 28                  | <i>Campylium stellatum</i>          | sol     | sp      | 2          | 2       |
| 29                  | <i>Catoscopium nigritum</i>         | —       | sol     | —          | 2       |
| 30                  | <i>Ctenidium molluscum</i>          | —       | rr      | —          | 1       |
| 31                  | <i>Distichium capillaceum</i>       | sp      | sp      | 1          | 2       |
| 32                  | <i>D. flexicaule</i>                | sol     | sol     | 1          | 1       |
| 33                  | <i>Hylocomium splendens</i>         | sol     | —       | 1          | —       |
| 34                  | <i>Orthothecium chryseon</i>        | —       | sol     | —          | 1       |
| 35                  | <i>Pseudocalliergon brevifolium</i> | sp      | cop1    | 1          | 1       |
| 36                  | <i>P. turgescens</i>                | —       | sol     | —          | 1       |
| 37                  | <i>Scorpidium cossonii</i>          | —       | cop1    | —          | 1       |
| 38                  | <i>Stereodon hambergeri</i>         | —       | sol     | —          | 1       |
| 39                  | <i>Tomentypnum nitens</i>           | sp      | —       | 1          | —       |

Таблица 4  
Видовой состав осоково-пушицево-мохового болота Прудо-Бэй (Аляска)

| №                   | Виды                                | Обилие  |         | Высота, см |         |
|---------------------|-------------------------------------|---------|---------|------------|---------|
|                     |                                     | 1993 г. | 2012 г. | 1993 г.    | 2012 г. |
| Сосудистые растения |                                     |         |         |            |         |
| 1                   | <i>Carex aquatilis</i>              | cop1    | cop1    | 30         | 30      |
| 2                   | <i>C. atrofusca</i>                 | —       | rr      | —          | 25      |
| 3                   | <i>C. bigelowii</i>                 | —       | rr      | —          | 20      |
| 4                   | <i>C. rotundata</i>                 | sp      | sol     | 15         | 15      |
| 5                   | <i>C. membranacea</i>               | —       | sol     | —          | 20      |
| 6                   | <i>Dupontia fisheri</i>             | sol     | sol     | 15         | 35      |
| 7                   | <i>Dryas integrifolia</i>           | —       | rr      | —          | 10      |
| 8                   | <i>Eriophorum angustifolium</i>     | cop1    | cop1    | 30         | 30      |
| 9                   | <i>E. scheuchzeri</i>               | sol     | sol     | 15         | 20      |
| 10                  | <i>E. vaginatum</i>                 | sp      | —       | 20         | —       |
| 11                  | <i>Equisetum variegatum</i>         | —       | sol     | —          | 5       |
| 12                  | <i>Melandrium apetalum</i>          | —       | sol     | —          | 15      |
| 13                  | <i>Pedicularis lanata</i>           | —       | sol     | —          | 5       |
| 14                  | <i>Saxifraga hirculus</i>           | —       | sol     | —          | 10      |
| 15                  | <i>Polygonum viviparum</i>          | sol     | sol     | 10         | 10      |
| 16                  | <i>Salix arctica</i>                | —       | sol     | —          | 10      |
| 17                  | <i>S. lanata</i>                    | sol     | sol     | 10         | 15      |
| 18                  | <i>S. reticulata</i>                | —       | sol     | —          | 5       |
| Лишайники           |                                     |         |         |            |         |
| 19                  | <i>Cetraria cucullata</i>           | sol     | rr      | 1          | 1       |
| 20                  | <i>Dactylina arctica</i>            | sol     | —       | 1          | —       |
| 21                  | <i>Thamnolia vermicularis</i>       | sol     | sol     | 0.5        | 0.5     |
| Мхи                 |                                     |         |         |            |         |
| 22                  | <i>Aulacomnium turgidum</i>         | sp      | —       | 2          | —       |
| 23                  | <i>Brachythecium cirrosum</i>       | —       | sol     | —          | 1       |
| 24                  | <i>Bryoerythrophyllum rubrum</i>    | —       | sol     | —          | 1       |
| 25                  | <i>Bryum pseudotriquetrum</i>       | sol     | sol     | 1          | 1       |
| 26                  | <i>Calliergon giganteum</i>         | —       | sol     | —          | 2       |
| 27                  | <i>C. richardsonii</i>              | —       | sol     | —          | 1       |
| 28                  | <i>Campylium stellatum</i>          | sol     | sp      | 2          | 2       |
| 29                  | <i>Catoscopium nigritum</i>         | —       | rr      | —          | 1       |
| 30                  | <i>Cinclidium latifolium</i>        | sp      | sp      | 1          | 2       |
| 31                  | <i>Distichium capillaceum</i>       | —       | sp      | —          | 2       |
| 32                  | <i>D. flexicaule</i>                | sp      | sol     | 1          | 1       |
| 33                  | <i>Hylocomium splendens</i>         | sol     | —       | 1          | —       |
| 34                  | <i>Meesia uliginosa</i>             | —       | rr      | —          | 1       |
| 35                  | <i>M. triquetra</i>                 | —       | sol     | —          | 1       |
| 36                  | <i>Orthothecium chryseon</i>        | —       | sol     | —          | 1       |
| 37                  | <i>Pseudocalliergon brevifolium</i> | sp      | cop1    | 1          | 1       |

Таблица 4 (продолжение)

| №  | Виды                        | Обилие  |         | Высота, см |         |
|----|-----------------------------|---------|---------|------------|---------|
|    |                             | 1993 г. | 2012 г. | 1993 г.    | 2012 г. |
| 38 | <i>P. turgescens</i>        | —       | sol     | —          | 1       |
| 39 | <i>Scorpidium cossonii</i>  | —       | sol     | —          | 1       |
| 40 | <i>S. revolvens</i>         | —       | rr      | —          | 1       |
| 41 | <i>Stereodon bambergeri</i> | —       | sol     | —          | 1       |
| 42 | <i>Tomentypnum nitens</i>   | sp      | sol     | 1          | 2       |
| 43 | <i>Tortella fragillis</i>   | —       | rr      | —          | 1       |

Таблица 5

## Видовой состав ожиково-злаково-лишайниково-моховой тундры Барроу (Аляска)

| № | Виды | Обилие  |         | Высота, см |         |
|---|------|---------|---------|------------|---------|
|   |      | 1993 г. | 2012 г. | 1993 г.    | 2012 г. |

## Сосудистые растения

|    |  |      |      |    |    |
|----|--|------|------|----|----|
| 1  | <i>Alopecurus alpinus</i>                      | rr   | rr   | 15 | 20 |
| 2  | <i>Arctagrostis latifolia</i>                  | sol  | sol  | 15 | 25 |
| 3  | <i>Carex bigelowii</i>                         | sol  | sol  | 15 | 15 |
| 4  | <i>Cerastium beringianum</i>                   | sol  | sol  | 10 | 10 |
| 5  | <i>Draba pauciflora</i>                        | rr   | sol  | 10 | 10 |
| 6  | <i>Dupontia fisheri</i>                        | —    | rr   | —  | 15 |
| 7  | <i>Eriophorum scheuchzeri</i>                  | —    | rr   | —  | 10 |
| 8  | <i>Luzula arctica</i>                          | cop1 | cop1 | 20 | 20 |
| 9  | <i>Pedicularis lanata</i>                      | —    | sol  | —  | 20 |
| 10 | <i>Petasites frigidus</i>                      | sol  | sol  | 20 | 20 |
| 11 | <i>Poa alpigena</i>                            | sol  | sol  | 15 | 15 |
| 12 | <i>P. arctica</i>                              | —    | rr   | —  | 15 |
| 13 | <i>Potentilla hyparctica</i>                   | —    | rr   | —  | 15 |
| 14 | <i>Ranunculus nivalis</i>                      | —    | sol  | —  | 20 |
| 15 | <i>Salix ovalifolia</i>                        | sol  | sol  | 2  | 2  |
| 16 | <i>S. planifolia</i>                           | sol  | sp   | 10 | 10 |
| 17 | <i>S. rotundifolia</i>                         | sol  | sol  | 2  | 2  |
| 18 | <i>Saxifraga cernua</i>                        | sol  | sp   | 10 | 10 |
| 19 | <i>S. foliolosa</i>                            | —    | rr   | —  | 10 |
| 20 | <i>S. punctata</i>                             | —    | rr   | —  | 25 |
| 21 | <i>Stellaria humifusa</i>                      | —    | rr   | —  | 10 |
| 22 | <i>Vaccinium vitis-idaea</i> ssp. <i>minus</i> | —    | sol  | —  | 5  |

## Лишайники

|    |                             |     |    |   |   |
|----|-----------------------------|-----|----|---|---|
| 23 | <i>Alectoria ochroleuca</i> | sol | sp | 1 | 2 |
| 24 | <i>A. nigricans</i>         | rr  | rr | 1 | 2 |
| 25 | <i>Cetraria cucullata</i>   | sol | sp | 2 | 2 |

Таблица 5 (продолжение)

| №   | Виды                               | Обилие  |         | Высота, см |         |
|-----|------------------------------------|---------|---------|------------|---------|
|     |                                    | 1993 г. | 2012 г. | 1993 г.    | 2012 г. |
| 26  | <i>Cetraria islandica</i>          | sol     | sol     | 1          | 2       |
| 27  | <i>C. nigricans</i>                | —       | sol     | —          | 2       |
| 28  | <i>C. nivalis</i>                  | —       | rr      | —          | 1       |
| 29  | <i>Cladonia amaurocraea</i>        | —       | sol     | —          | 2       |
| 30  | <i>C. bellidiflora</i>             | —       | sol     | —          | 2       |
| 31  | <i>C. pocillum</i>                 | —       | sol     | —          | 1       |
| 32  | <i>C. rangiferina</i>              | —       | sol     | —          | 1       |
| 33  | <i>Dactylina arctica</i>           | sol     | sol     | 1          | 2       |
| 34  | <i>Ochrolechia frigida</i>         | sol     | sol     | 0.5        | 0.5     |
| 35  | <i>Peltigera canina</i>            | rr      | rr      | 0.5        | 0.5     |
| 36  | <i>Sphaerophorus globosus</i>      | sol     | sol     | 0.5        | 0.5     |
| 37  | <i>Thamnolia vermicularis</i>      | sol     | sol     | 0.5        | 0.5     |
| Мхи |                                    |         |         |            |         |
| 38  | <i>Aulacomnium palustre</i>        |         | sp      | 2          | 2       |
| 39  | <i>A. turgidum</i>                 | sol     | sol     | 2          | 2       |
| 40  | <i>Blepharostoma trichophyllum</i> | —       | sol     | —          | 1       |
| 41  | <i>Dicranum elongatum</i>          | sol     | sp      | 1          | 1       |
| 42  | <i>D. laevidens</i>                | —       | rr      | —          | 1       |
| 43  | <i>Oncophorus wahlenbergii</i>     | —       | sol     | —          | 1       |

Таблица 6

**Видовой состав злаково-осоково-пушицево-мохового болота Барроу (Аляска)**

| № | Виды | Обилие  |         | Высота, см |         |
|---|------|---------|---------|------------|---------|
|   |      | 1993 г. | 2012 г. | 1993 г.    | 2012 г. |

**Сосудистые растения**

|    |                                 |      |      |    |    |
|----|---------------------------------|------|------|----|----|
| 1  | <i>Alopecurus alpinus</i>       | rr   | rr   | 20 | 20 |
| 2  | <i>Arctagrostis latifolia</i>   | sol  | sol  | 20 | 25 |
| 3  | <i>Arctophila fulva</i>         | cop1 | cop1 | 30 | 30 |
| 4  | <i>Cardamine pratensis</i>      | rr   | rr   | 10 | 15 |
| 5  | <i>Carex aquatilis</i>          | cop1 | cop1 | 30 | 30 |
| 6  | <i>Cerastium beringianum</i>    | rr   | rr   | 10 | 10 |
| 7  | <i>Cochlearia officinalis</i>   | rr   | —    | 10 | —  |
| 8  | <i>Dupontia fisheri</i>         | sol  | sol  | 15 | 20 |
| 9  | <i>Eriophorum angustifolium</i> | cop1 | cop1 | 30 | 30 |
| 10 | <i>E. scheuchzeri</i>           | sol  | sp   | 15 | 20 |
| 11 | <i>Petasites frigidus</i>       | —    | sol  | —  | 10 |
| 12 | <i>Poa arctica</i>              | —    | sol  | —  | 15 |

Таблица 6 (продолжение)

| №         | Виды                              | Обилие  |         | Высота, см |         |
|-----------|-----------------------------------|---------|---------|------------|---------|
|           |                                   | 1993 г. | 2012 г. | 1993 г.    | 2012 г. |
| 13        | <i>Ranunculus nivalis</i>         | sol     | sol     | 15         | 20      |
| 14        | <i>Salix planifolia</i>           | —       | rr      | —          | 10      |
| 15        | <i>Saxifraga cernua</i>           | —       | sol     | —          | 10      |
| 16        | <i>S. foliolosa</i>               | sol     | sol     | 10         | 10      |
| 17        | <i>S. punctata</i>                | sol     | sol     | 15         | 20      |
| Лишайники |                                   |         |         |            |         |
| 18        | <i>Cetraria nivalis</i>           | sol     | rr      | 1          | 1       |
| 19        | <i>Dactylina arctica</i>          | rr      | rr      | 1          | 1       |
| 20        | <i>Peltigera canina</i>           | sol     | sol     | 0.5        | 0.5     |
| 21        | <i>Thamnolia vermicularis</i>     | rr      | rr      | 1          | 1       |
| Мхи       |                                   |         |         |            |         |
| 22        | <i>Calliergon richardsonii</i>    | —       | sp      | —          | 1       |
| 23        | <i>Polytrichastrum alpinum</i>    | —       | sol     | —          | 1       |
| 24        | <i>Polytrichum jensenii</i>       | sp      | sol     | 1          | 1       |
| 25        | <i>Pseudobryum cinclidiodes</i>   | sol     | sol     | 1          | 1       |
| 26        | <i>Rhizomnium pseudopunctatum</i> | —       | rr      | —          | 1       |
| 27        | <i>Scorpidium revolvens</i>       | —       | sol     | —          | 1       |
| 28        | <i>Sphagnum balticum</i>          | sol     | sp      | 1          | 2       |
| 29        | <i>S. fimbriatum</i>              | sp      | sp      | 1          | 2       |
| 30        | <i>S. squarrosum</i>              | sol     | sp      | 1          | 2       |
| 31        | <i>Warnstorffia exannulata</i>    | sp      | copl    | 1          | 1       |
| 32        | <i>W. fluitans</i>                | —       | sol     | —          | 1       |
| 33        | <i>W. sarmentosa</i>              | sp      | sp      | 1          | 1       |

Таким образом, сравнительный анализ видового состава тундр Харасавея, Прудо-Бэя и Барроу показал, что, несмотря на суровые климатические условия (самые низкие среднегодовые температуры воздуха, сильные ветры), наибольшее число видов (52) зарегистрировано в зональных тундрах Барроу. Мы полагаем, что объекты инфраструктуры нефтедобычи в Прудо-Бэе [20] и газодобычи в Харасавее [2] влияют на уменьшение видового богатства тундровых сообществ.

Для Харасавея выделены пушицево-сфагновые микрофитоценозы, которые могут служить индикаторами минимальных глубин сезонного протаивания. Сравнение видового состава растительных сообществ, развитых в разных ландшафтных условиях, за 1978 и 2008 гг. показало, что число видов увеличилось в этих сообществах за счет появления новых видов разнотравья и лишайников. Только на дренированных песчаных тундровых участках, нарушенных пастьбой оленей, этого не наблюдалось. Глубина сезонного протаивания в более теплом 2008 г. увеличилась на 20—30 % по сравнению с холодным 1978 г.

Работа выполнена при поддержке Совета по грантам президента Российской Федерации (грант НШ-3929.2014.5) и Тюменской губернской академии, грантов РФФИ № 13-05-00811, U. S. National Science Foundation (Land-Cover Land-Use Change program и грант ARC-1023623), проекты CALM и TSP.

Авторы благодарят М. С. Игнатова за определение видового состава мхов, собранных на Аляске.

### Список литературы

- [1] Баулин В. В., Дубиков Г. И., Аксенов В. И. и др. Геокриологические условия Харасавэйского и Круzenштерновского месторождений (п-ов Ямал). М.: ГЕОС, 2003. 180 с.
- [2] Ермилов О. М., Грива Г. И., Москвин В. И. Воздействие объектов газовой промышленности на северные экосистемы и экологическая стабильность геотехнических комплексов в криолитозоне. Новосибирск: Изд-во СО РАН, 2002. 148 с.
- [3] Лейбман М. О., Москаленко Н. Г., Орехов П. Т. и др. Взаимодействие криогенных и биотических компонент геосистем в криолитозоне Западной Сибири на трансекте «Ямал» // Полярная криосфера и воды суши. М.: Paulsen, 2011. С. 171—192.
- [4] Мельцер Л. И. Тундровая растительность // Растительный покров Западно-Сибирской равнины. Новосибирск: Наука, 1985. С. 41—54.
- [5] Павлов А. В. Мониторинг криолитозоны. Новосибирск: Академическое издательство «Гео», 2008. 229 с.
- [6] Перльштейн Г. З., Павлов А. В., Буйских А. А. Изменения криолитозоны в условиях современного потепления климата // Геоэкология (инж. геология, гидрогеология, геокриология). 2006. № 4. С. 305—312.
- [7] Раменский Л. Г. Введение в комплексное почвенно-геоботаническое исследование земель. М.: Сельхозгиз, 1938. 620 с.
- [8] Ребристая О. В. Анализ северных пределов распространения растений Ямала (на уровне ценофлор) // Изучение биологического разнообразия методами сравнительной флористики. СПб., 1998. С. 158—172.
- [9] Тыртыков А. П. Динамика растительного покрова и развитие вечной мерзлоты в Западной Сибири. М.: Изд-во МГУ, 1974. 198 с.
- [10] Уранов А. А. Жизненное состояние вида в растительном сообществе // Бюл. МОИП. Отд. биол., 1960. Т. 65, вып. 3. С. 276—281.
- [11] Уранов А. А. О методе Друде // Бюл. МОИП. Отд. биол. 1935. Т. 44, вып. 1—2. С. 18—28.
- [12] Anisimov O. A., Vaughan D. G., Callaghan T. V. et al. Polar regions (Arctic and Antarctic). Climate Change 2007: Impacts, Adaptation and Vulnerability // Contribution of Working Group II to the Fourth Assessment Report of the Intergovernmental Panel on Climate Change. Cambridge University Press, 2007. P. 653—685.
- [13] Bhatt U. S., Walker D. A., Raynolds M. K. et al. Circumpolar Arctic tundra vegetation change is linked to sea-ice decline // Earth Interactions. 2010. Vol. 14, paper N 8. P. 1—20.
- [14] Brown J., Romanovsky V. E. Report from the International Permafrost Association: State of permafrost in the first decade of the 21st century // Permafrost and Periglacial Processes. 2008. 19 (2). P. 255—260.
- [15] Callaghan T. V., Bjorn L. O., Chernov Y. I. et al. Artic tundra and polar ecosystems // Arctic Climate Impact Assessment, ACIA. Cambridge: Cambridge University Press, 2005. P. 243—351.
- [16] Gould W. A., Mercado-Diaz J. A., Zimmerman J. K. Twenty year record of vegetation change from long-term plots in Alaskan tundra // Long Term Ecological Research Ne-

twork All Scientist meeting, September 14—16 2009. Estes Park. Abstract C11C—0524.

- [17] Hill G. B., Henry G. H. R. Responses of High Arctic wet sedge tundra to climate warming since 1980 // Global Change Biology. 2010. N 17. P. 276—287.
- [18] Hollister R. D., Webber P. J., Tweedie C. E. The response of Alaskan arctic tundra to experimental warming: differences between short- and long-term responses // Global Change Biology. 2005. N 11. P. 1—12.
- [19] Hudson J. M. G., Henry G. H. R. Increased plant biomass in a High Arctic heath community from 1981 to Hudson // Ecology. 2009. N 90. P. 2657—2663.
- [20] Hunt P. G., Rickard W. E., Deneke F. J., Koutz F. R., Murrman. Terrestrial oil spills in Alaska: environmental effects and recovery // Proc. Joint Conf. Prev. and Contr. Oil Spills. Washington. D. C., 1973. P. 733—740.
- [21] Jorgenson M. T. (ed.). Coastal region of northern Alaska // Guidebook to permafrost and related features: Alaska Division of Geological & Geophysical Surveys. 2011.10. 188 p.
- [22] Jorgenson T., Yoshikaw K., Kanevskiy M. et al. Permafrost Characteristics of Alaska // Proceedings of the Ninth International Conference on Permafrost, extended abstracts, 2008.
- [23] Kanevskiy M., Shur Y., Jorgenson M. T. et al. Ground ice in the upper permafrost of the Beaufort Sea Coast of Alaska // Cold Regions Science and Technology. 2013. 85. P. 56—70.
- [24] Lachenbruch A. H., Sass J. H., Lawver L. A. et al. Temperature and depth of permafrost on the Arctic slope of Alaska // Geology and Exploration of the National Petroleum Reserve in Alaska, Gryc G. (ed.). U. S. Geological Survey Professional Paper 1399. 1988. P. 645—656.
- [25] Lantz T. C. Relative influence of temperature and disturbance on vegetation dynamics in the Low Arctic: An investigation at multiple scales // Ph. D. thesis. Vancouver. University of British Columbia. 2008. 167 p.
- [26] Nelson F. E., Lachenbruch A. H., Woo M.-K. et al. Permafrost and changing climate // Permafrost: Proc. of the Sixth Intern. Conf. Beijing, China, South China Univ. of Technol. Press. 1993. Vol. 2. P. 987—1005.
- [27] Osterkamp T., Romanovsky V. Evidence for warming and thawing of discontinuous permafrost in Alaska // Permafrost and Periglacial Processes. 1999. Vol. 10. P. 17—37.
- [28] Smith S. L., Romanovsky V. E., Lewkowicz A. G. et al. Thermal state of permafrost in North America: a contribution to the International Polar Year // Permafrost and Periglacial Processes. 2010. 21 (2). P. 117—135.
- [29] Streletskiy D. A., Shiklomanov N. I., Nelson F. E. Thirteen years of observations at Alaskan CALM sites: long-term active layer and ground surface temperature trends // In: Proceedings of the Ninth International Conference on Permafrost. Kane D. L. & Hinkel K. M. (eds). Institute of Northern Engineering, University of Alaska, Fairbanks. 2008. Vol. 2. P. 1727—1732.
- [30] Sturm M., Racine C., Tape K. Increasing shrub abundance in the Arctic // Nature. 2001. N 411. P. 546—547.
- [31] Tape K., Sturm M., Racine C. The evidence for shrub expansion in Northern Alaska and the Pan-Arctic // Global Change Biol. 2006. N 12. P. 686—702.
- [32] Walker D. A., Epstein H. E., Jia J. G. et al. Phytomass, LAI, and NDVI in northern Alaska: Relationships to summer warmth, soil pH, plant functional types, and extrapolation to the circumpolar Arctic // Journal of Geophysical Research—Atmospheres. 2003. Vol. 108, N D2, 8169. P. 1—7.

Москва  
nat-moskalenko@yandex.ru  
Институт криосферы Земли СО РАН

Поступило в редакцию  
28 февраля 2013 г.